



Rapport

Parc Drieën-Huysen te Vlaardingen
Beoordeling luchtkwaliteitsaspecten

bezoekadres Reggesingel 2
postbus 202
postcode 7460 AE Rijssen
telefoon (0)548 51 52 00
telefax (0)548 51 85 65
e-mail rijssen@avecodebondt.nl
internet www.avecodebondt.nl

projectnaam Parc Drieën-Huysen, vervangende nieuwbouw
projectnummer 131774
referentie PvdW/096/131774

opdrachtgever Boele & Van Eesteren
postadres Postbus 3077 - 2280 GB Rijswijk (ZH)
contactpersoon de heer F. Gortemaker

status Definitief
versie 01

aantal pagina's
datum 10 januari 2014

auteur ir. P van der Wal

paraaf
gecontroleerd A. Van de Maat



INHOUDSOPGAVE

| | | |
|----------|---|-----------|
| 1 | INLEIDING | 3 |
| 2 | LOCATIEGEGEVENS | 4 |
| | 2.1 Situatie | 4 |
| | 2.2 Bouwplan | 4 |
| 3 | WETTELIJK KADER EN REKENMETHODEN | 5 |
| | 3.1 Wet luchtkwaliteit | 5 |
| | 3.2 Grenswaarden | 5 |
| | 3.3 NIBM | 5 |
| | 3.4 Toepasbaarheidsbeginsel en blootstellingscriterium | 6 |
| | 3.5 Rekenmethoden | 6 |
| 4 | UITGANGSPUNTEN | 7 |
| | 4.1 Algemeen | 7 |
| | 4.2 Gevoelige bestemmingen | 7 |
| | 4.3 Relevante emissiebronnen wegverkeer | 7 |
| | 4.4 Overige (rekentechnische) uitgangspunten | 8 |
| 5 | TOETS LUCHTKWALITEIT | 9 |
| | 5.1 NIBM | 9 |
| | 5.2 Ter plaatse van bouwplan | 9 |
| | 5.2.1 Resultaten NO ₂ (stikstofdioxide) (2014, 2015, 2020 en 2024) | 9 |
| | 5.2.2 Resultaten PM ₁₀ (fijn stof) (2014, 2015, 2020 en 2024) | 10 |
| | 5.3 Beschouwing rekenresultaten | 10 |
| 6 | SAMENVATTING EN CONCLUSIE | 11 |

Bijlagen

| | |
|------------|---|
| Bijlage 1: | Overzicht van rekenmodel en toetspunten |
| Bijlage 2: | Invoergegevens rekenmodel |
| Bijlage 3: | Verkeersintensiteiten |
| Bijlage 4: | Rekenresultaten NO ₂ en PM ₁₀ |



1 INLEIDING

In verband met een ruimtelijke ordening procedure ten behoeve van het bouwplan (vervanging en uitbreiding van het) complex 'Parc Drieën-Huysen' aan de Willem de Zwijgerlaan 470 te Vlaardingen is Aveco de Bondt gevraagd een beoordeling uit te voeren op de luchtkwaliteitsaspecten. Deze beoordeling betreft zowel een NIBM-toets als een breder onderzoek naar de luchtkwaliteit in de omgeving van het bouwplan.

Het bouwplan omvat de vervangende nieuwbouw van het zorgcentrum en nieuwbouw van zorgappartementen. Voor de volledigheid wordt vermeld dat de bijdrage ten gevolge van de gehele inrichting in het onderzoek is beschouwd.

Bij de besluitvorming in deze ruimtelijke procedure dient het bevoegd gezag de gevolgen voor de luchtkwaliteit, die samenhangen met de beoogde ontwikkeling, te toetsen aan de luchtkwaliteitseisen uit de Wet milieubeheer. Conform de systematiek van dit onderdeel van de Wet Milieubeheer, vormt het aspect luchtkwaliteit in ieder geval geen belemmering voor een ontwikkeling als deze niet in betekenende mate (NIBM) bijdraagt aan de concentraties luchtverontreinigende stoffen.

Behalve de wettelijke toets dient het bevoegd gezag ook de milieukwaliteit binnen en in de omgeving van het plangebied te betrekken bij de ruimtelijke besluitvorming. Ten aanzien van het aspect luchtkwaliteit, is het in dit kader relevant hoe de concentraties luchtverontreinigende stoffen PM₁₀ (fijn stof) en NO₂ (stikstofdioxide) zich in de omgeving van de gevoelige bestemmingen verhouden tot de grenswaarden c.q. de gezondheidsnormen die voor deze stoffen zijn opgenomen in bijlage II van de Wet Milieubeheer.



2 LOCATIEGEGEVENS

2.1 Situatie

Parc Drieën-Huysen is gevestigd aan Willem de Zwijgerlaan 470 te Vlaardingen. De inrichting bevindt zich ten westen van de Holysingel en ten noorden van de Anna Paulownalaan. In figuur 1 van bijlage 1 wordt de situatie weergegeven. Het plangebied is gemarkeerd met een cirkel.

2.2 Bouwplan

Het bouwplan bestaat uit vervangende nieuwbouw van het zorgcentrum en de nieuwbouw van appartementen. De realisatie hiervan staat gepland in 2015. In figuur 2 van bijlage 1 is het ontwerp opgenomen.

Het bouwblok:

- T1 betreft 14 koopwoningen (bouwhoogte 15m);
- T2 betreft 20 koopwoningen (bouwhoogte 21m);
- T3 betreft 14 koopwoningen (bouwhoogte 15m);
- T4 betreft 40 aanleunwoningen (bouwhoogte 27,6m);
- T5 betreft 40 aanleunwoningen (bouwhoogte 27,6m);
- T6 betreft 36 huurwoningen (bouwhoogte 30,6m);
- T7 betreft 36 koopwoningen (bouwhoogte 30,6m);
- T8 betreft 81 zorgplaatsen (bouwhoogte 30,6m);

Totaal betreft het 281 wooneenheden.

Het aantal parkeerplaatsen zal in totaliteit 250 stuks bedragen. De ontsluiting geschiedt via twee toegangen (noordelijk en zuidelijk) tot de Willem de Zwijgerlaan. Het bestemmingsverkeer rijdt in zuidelijke richting naar de doorgaande wegen.



3 WETTELIJK KADER EN REKENMETHODEN

3.1 Wet luchtkwaliteit

De luchtkwaliteitseisen uit de Wet milieubeheer (titel 5.2) worden ook wel de Wet luchtkwaliteit genoemd. Volgens de systematiek van de Wet luchtkwaliteit vormen de luchtkwaliteitseisen in ieder geval geen belemmering voor een ontwikkeling, indien aannemelijk is gemaakt dat het plan leidt tot een NIBM toename van de concentraties luchtverontreinigende stoffen fijn stof (PM_{10}) en stikstofdioxide (NO_2). Ook indien grenswaarden uit de Wet luchtkwaliteit worden overschreden bij realisatie van een plan dat NIBM bijdraagt, vormen de luchtkwaliteitseisen geen belemmering.

In de navolgende paragrafen is een samenvatting gegeven van de meest relevante bepalingen uit de vigerende wet- en regelgeving voor de onderhavige ontwikkeling. Dit betreffen de begrippen grenswaarden en NIBM.

3.2 Grenswaarden

In tabel 3.1 zijn de relevante grenswaarden voor de voor de luchtkwaliteit maatgevende stoffen PM_{10} en NO_2 weergegeven, zoals die op grond van de vigerende wet- en regelgeving gelden in de omgeving van het plangebied.

Tabel 3.1 Grenswaarden voor PM_{10} en NO_2

| Stof | Norm | 2014 | 2015 en later |
|-----------|---|------|---------------|
| NO_2 | Grenswaarde (jaargemiddelde in $\mu g/m^3$) | 60 | 40 |
| PM_{10} | Grenswaarde (jaargemiddelde in $\mu g/m^3$) | 40 | 40 |
| | Grenswaarde (aantal dagen per jaar dat de 24-uurgemiddelde concentratie boven de $50 \mu g/m^3$ mag liggen) | 35 | 35 |

Bepalend voor de concentraties PM_{10} en NO_2 binnen en in de onmiddellijke omgeving van het plangebied zijn de ter plaatse heersende achtergrondconcentraties en de bijdrage vanwege wegverkeer.

3.3 NIBM

In het Besluit NIBM (luchtkwaliteitseisen) is vastgelegd dat een ontwikkeling NIBM bijdraagt, indien de bijdrage aan de concentratie PM_{10} of NO_2 niet meer dan 3% bedraagt van de jaargemiddelde grenswaarde van de betreffende stof. Voor de voor luchtkwaliteit maatgevende stoffen PM_{10} en NO_2 komt dit overeen met een bijdrage aan de jaargemiddelde concentraties van $1,2 \mu g/m^3$. Voor ontwikkelingen die NIBM bijdragen aan de concentraties luchtverontreinigende stoffen, vormt de Wet luchtkwaliteit geen belemmering en is geen nader luchtkwaliteitsonderzoek vereist.

3.4 Toepasbaarheidsbeginsel en blootstellingscriterium

Volgens de Wet luchtkwaliteit wordt de luchtkwaliteit overal beoordeeld met uitzondering van locaties die vallen onder het zogenaamde toepasbaarheidsbeginsel. Het toepasbaarheidsbeginsel is opgenomen in artikel 5.19 tweede lid van de Wet luchtkwaliteit en houdt in dat de luchtkwaliteit niet wordt beoordeeld op:

- locaties die zich bevinden in gebieden waartoe leden van het publiek geen toegang hebben en waar geen vaste bewoning is, zoals akkerland;
- op bedrijfsterreinen of terreinen van industriële inrichtingen, waarop alle relevante bepalingen inzake gezondheid en veiligheid op het werk gelden;
- op de rijbaan van wegen en op de middenberm van wegen, tenzij voetgangers normaliter toegang tot de middenberm hebben.

Voor het berekenen van de luchtkwaliteit op locaties die niet zijn uitgezonderd op basis van het toepasbaarheidsbeginsel geldt verder dat ter plaatse van de rekenpunten sprake moet zijn van significante blootstelling van mensen ten opzichte van de middelingstijd van de grenswaarden. Dit volgt uit het blootstellingscriterium dat is opgenomen in de RBL 2007.

Voorts zijn in de RBL 2007 nog enkele specifieke voorwaarden gesteld waaraan toetslocaties dienen te voldoen bij de beoordeling van luchtkwaliteit nabij wegen en inrichtingen:

- beoordelingslocaties bevinden zich op ten minste 25 m van de rand van grote kruisingen en op niet meer dan 10 m van de wegrand;
- beoordelingslocaties nabij wegen leiden tot gemeten en of berekende concentraties die representatief zijn voor de luchtkwaliteit langs een straatsegment van ten minste 100 m;
- beoordelingslocaties op industrieterreinen leiden tot gemeten en of berekende concentraties die representatief zijn voor een gebied van ten minste 250 m bij 250 m.

3.5 Rekenmethoden

Conform de RBL 2007 wordt de luchtkwaliteit langs wegen en inrichtingen a priori volgens de standaardrekenmethoden berekend. Er wordt daarbij onderscheid gemaakt tussen de luchtkwaliteit langs wegen in een stedelijke omgeving en langs wegen in het open veld.

In voorliggend onderzoek zijn de bijdragen aan de concentraties luchtverontreinigende stoffen door het verkeer op de ontsluitingswegen van het plan berekend met behulp van het DGMR-rekenprogramma Geomilieu V 2.30. Het rekenprogramma is goedgekeurd door het Ministerie van I&M.

4 UITGANGSPUNTEN

4.1 Algemeen

Voor het luchtkwaliteitsonderzoek is gebruik gemaakt van de volgende gegevens:

- Bladnummer B3.100 'Parc Drieën-Huysen Vlaardingen woon- zorgcomplex, projectnummer B04746, d.d. 7 januari 2014;
- Wegverkeersgegevens Willem de Zwijgerlaan en Holysingel situatie 2012, verkregen uit NSL-monitoringstool (internet-module). Er wordt gebruik gemaakt van een jaarlijkse verkeerstoename van 1,5%;
- Rekenprogramma Geomilieu Stacks V2.30;
- CROW ASVV 2012;

4.2 Gevoelige bestemmingen

De inrichting omvat in alle (huidige, maar ook toekomstige) gebouwen wooneenheden en zorg-eenheden. Deze eenheden dienen te worden aangemerkt als gevoelig.

In bijlage 1 is de ligging van alle rekenpunten weergegeven. Een gedetailleerd overzicht van de ligging en eigenschappen van alle rekenpunten is opgenomen in bijlage 2.

De omgeving van Parc Drieën-Huysen is zodanig ingericht dat men er enkel (kortdurend) als deelnemer aan het verkeer of binnen de grenzen van andere inrichtingen kan verblijven. In hoofdstuk 3 is toegelicht dat deze locaties zijn vrijgesteld van toetsing aan de grenswaarden omwille van het toepasbaarheidsbeginsel en blootstellingscriterium. De toets of aan de grenswaarden wordt voldaan is uitgevoerd op de meest nabij de inrichting gelegen locaties die niet zijn uitgezonderd van toetsing op grond van het toepasbaarheidsbeginsel of blootstellingscriterium.

4.3 Relevante emissiebronnen wegverkeer

Parkeerplaatsen:

Ten behoeve van een indicatie met betrekking tot de toename van het aantal verkeersbewegingen gerelateerd aan het bouwplan is een worst-case benadering gevolgd. Er wordt van uitgegaan dat conform CROW ASVV 2012 alle 281 wooneenheden resulteren in 5 vervoersbewegingen per etmaal. Dit levert het aantal verkeersbewegingen op van $281 \times 5 = 1405$ stuks, waarbij een gemiddelde snelheid van 15 km/u geldt.

Er wordt vanuit gegaan dat de helft van het inrichtingsgebonden verkeer via de zuidelijke toegang tot de Willem de Zwijgerlaan rijdt.



Verkeer omliggende wegen:

De voor de gevoelige bestemmingen in het betrokken plangebied relevante emissiebronnen betreffen het wegverkeer over de:

- Holysingel (oost);
- Willem de Zwijgerlaan (west).

Voor de bepaling van de luchtmissies binnen het plangebied zijn de verkeersintensiteiten van belang. De intensiteiten 2012 zijn overgenomen uit de NSL-monitoringstool. In onderhavige situatie zijn de jaren 2014, 2015, 2020 en 2024 als uitgangspunt gehanteerd. Het betreft binnenstedelijke wegen met een maximum snelheid van 50 km/u.

Door middel van een extrapolatie (1,5% jaarlijkse toename) ten opzichte van het jaar 2012 zijn de intensiteiten voor de te beschouwen jaren verkregen. In bijlage 3 zijn deze verkeersintensiteiten opgenomen.

4.4 Overige (rekentechnische) uitgangspunten

Gegevens over de ligging van de inrichting en de positie van de bronnen ten opzichte van de omgeving zijn ontleend aan recente ondergronden (GBKN) en door de opdrachtgever verstrekte tekeningen. Ook de ligging en kenmerken van de beschouwde wegen is op deze informatie gebaseerd. Een gedetailleerd overzicht van alle gehanteerde uitgangspunten is opgenomen in bijlage 2 van dit rapport.

Voor de generieke uitgangspunten met betrekking tot meteorologische gegevens, achtergrondconcentraties en terreinruwheid is uitgegaan van de in maart 2013 door het Ministerie van I&M vrijgegeven gegevens. De gehanteerde terreinruwheid is gebaseerd op de nationale ruwheidskaart en is in voorliggend onderzoek vastgesteld op 0,88 m.



5 TOETS LUCHTKWALITEIT

5.1 NIBM

Zoals hiervoor aangegeven vormt de Wet luchtkwaliteit in geen geval een belemmering voor de realisatie het bouwplan, indien aannemelijk is gemaakt dat de voorgenomen realisatie leidt tot een NIBM-bijdrage aan de concentraties PM_{10} en of NO_2 .

De verkeersproductie ten gevolge van het bouwplan stijgt met 1405 verkeersbewegingen per dag (worst-case).

Uit de rekenresultaten blijkt dat het effect ten gevolge van het extra verkeer $0,4 \mu\text{g}/\text{m}^3$ NO_2 en $0,1 \mu\text{g}/\text{m}^3$ PM_{10} bedraagt. De grens voor "Niet In Betekenende Mate" bedraagt $1,2 \mu\text{g}/\text{m}^3$. Een uitdraai van de berekening is weergegeven in bijlage 4, waarbij de berekeningspunten op 10 m van de Willem de Zwijgerlaan van toepassing zijn.

Uit het voorgaande volgt dat de Wet luchtkwaliteit, op basis van artikel 5.16 (eerste lid, onder c), geen belemmering vormt voor de beoogde realisatie van het bouwplan Parc Drieën-Huysen.

5.2 Ter plaatse van bouwplan

Een uitgebreid overzicht van alle rekenresultaten is opgenomen in bijlage 4.

5.2.1 Resultaten NO_2 (stikstofdioxide) (2014, 2015, 2020 en 2024)

De berekende jaargemiddelde concentraties NO_2 ter plaatse van de gevoelige bestemmingen van het bouwplan en op ten hoogste 10 m van de wegranden zijn opgenomen in tabel 5.1.

Tabel 5.1: Jaargemiddelde concentratie NO_2 [$\mu\text{g}/\text{m}^3$]

| Jaartal | 2014 | 2015 | 2020 | 2024 |
|--------------------------------|------|------|------|------|
| Achtergrondwaarde: | 27,4 | 26,9 | 22,8 | 22,0 |
| Locatie | | | | |
| t.p.v. bouwplan Parc 3H fase 1 | 28,3 | 27,7 | 23,4 | 22,6 |
| t.p.v. 10 m van wegrand | 28,9 | 28,3 | 23,7 | 22,9 |

5.2.2 Resultaten PM₁₀ (fijn stof) (2014, 2015, 2020 en 2024)

De berekende jaargemiddelde concentraties PM₁₀ ter plaatse van de gevoelige bestemmingen van het bouwplan en op ten hoogste 10 m van de wegranden zijn opgenomen in tabel 5.2.

Tabel 5.2: Jaargemiddelde concentratie PM₁₀ [$\mu\text{g}/\text{m}^3$]

| Jaartal | 2014 | 2015 | 2020 | 2024 |
|--|------|------|------|------|
| Achtergrondwaarde (incl. zeezoutcorr.) | 21,2 | 20,9 | 19,7 | 19,4 |
| Locatie | | | | |
| t.p.v. bouwplan Parc 3H fase 1 | 21,3 | 21,0 | 19,8 | 19,4 |
| t.p.v. 10 m van wegrand | 21,3 | 21,0 | 19,9 | 19,6 |

Het aantal dagen per jaar dat de 24-uurgemiddelde concentratie boven de $50 \mu\text{g}/\text{m}^3$ ligt bedraagt ter plaatse van de toetspunten ten hoogste 10, 10, 8 en 7 in respectievelijk 2014, 2015, 2020 en 2024. Deze liggen ruim onder de grenswaarde van 35 dagen.

5.3 Beschouwing rekenresultaten

Uit de berekeningen volgt dat de grenswaarden voor NO₂ en PM₁₀, zelfs bij de gehanteerde worstcase aanpak, ruimschoots worden gerespecteerd op locaties;

- waar leden van het publiek kunnen worden blootgesteld aan concentraties luchtverontreinigende stoffen gedurende een periode die significant is ten opzichte van de middelingsduur van de desbetreffende grenswaarden;
- die niet zijn uitgezonderd op grond van de criteria die gelden voor rekenpunten in de nabijheid van wegen en of inrichtingen.

Bovengenoemde conclusies gelden zowel voor het maatgevende zichtjaar 2014 als voor de toekomstige zichtjaren 2015, 2020 en 2024. Op grond van bovenstaande bevindingen vormt de Wet luchtkwaliteit, zelfs bij een worstcase invulling van diverse relevante uitgangspunten, geen belemmering voor de ruimtelijke ordening procedure.



6 SAMENVATTING EN CONCLUSIE

In de voorliggende notitie zijn de luchtkwaliteitsaspecten, die samenhangen met de ruimtelijke procedure aangaande de vervangende nieuwbouw van Parc Drieën-Huysen te Vlaardingen, geïventariseerd en beoordeeld.

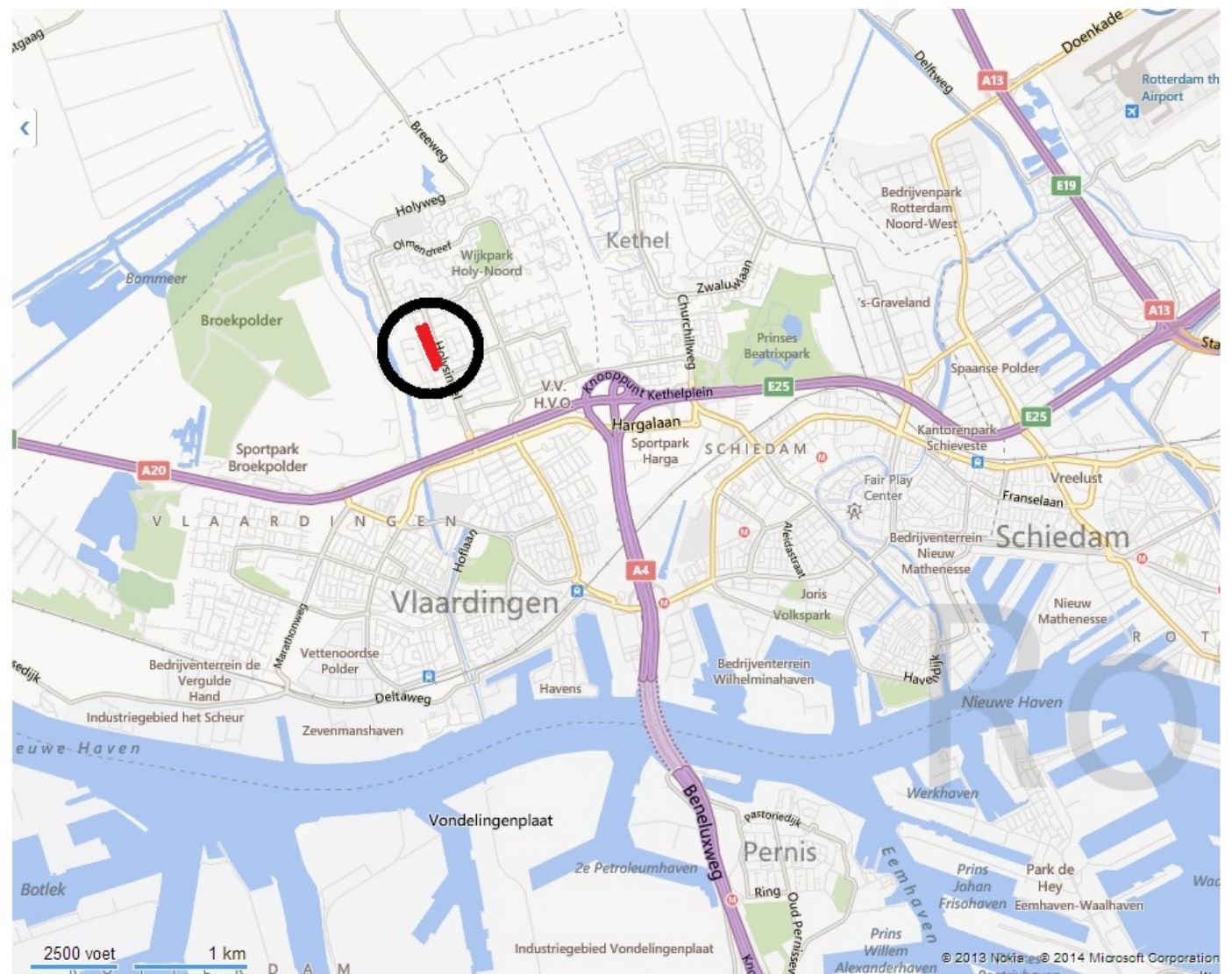
Uit de toets volgt dat de realisatie niet in betekende mate (NIBM) bijdraagt aan de concentraties luchtverontreinigende stoffen. Op grond van artikel 5.16, eerste lid onder c van de Wet luchtkwaliteit staat daarmee vast, dat de luchtkwaliteitsaspecten uit de Wet geen belemmering vormen voor de ruimtelijke procedure ten behoeve van de realisatie.

Uit een beoordeling van de te verwachten concentraties luchtverontreinigende stoffen in de directe omgeving van het bouwplan, volgt verder dat de concentraties PM₁₀ en NO₂ ter plaatse (nu en in de toekomst) ruimschoots lager liggen dan de grenswaarden die voor deze stoffen zijn opgenomen in bijlage II van de Wet luchtkwaliteit.

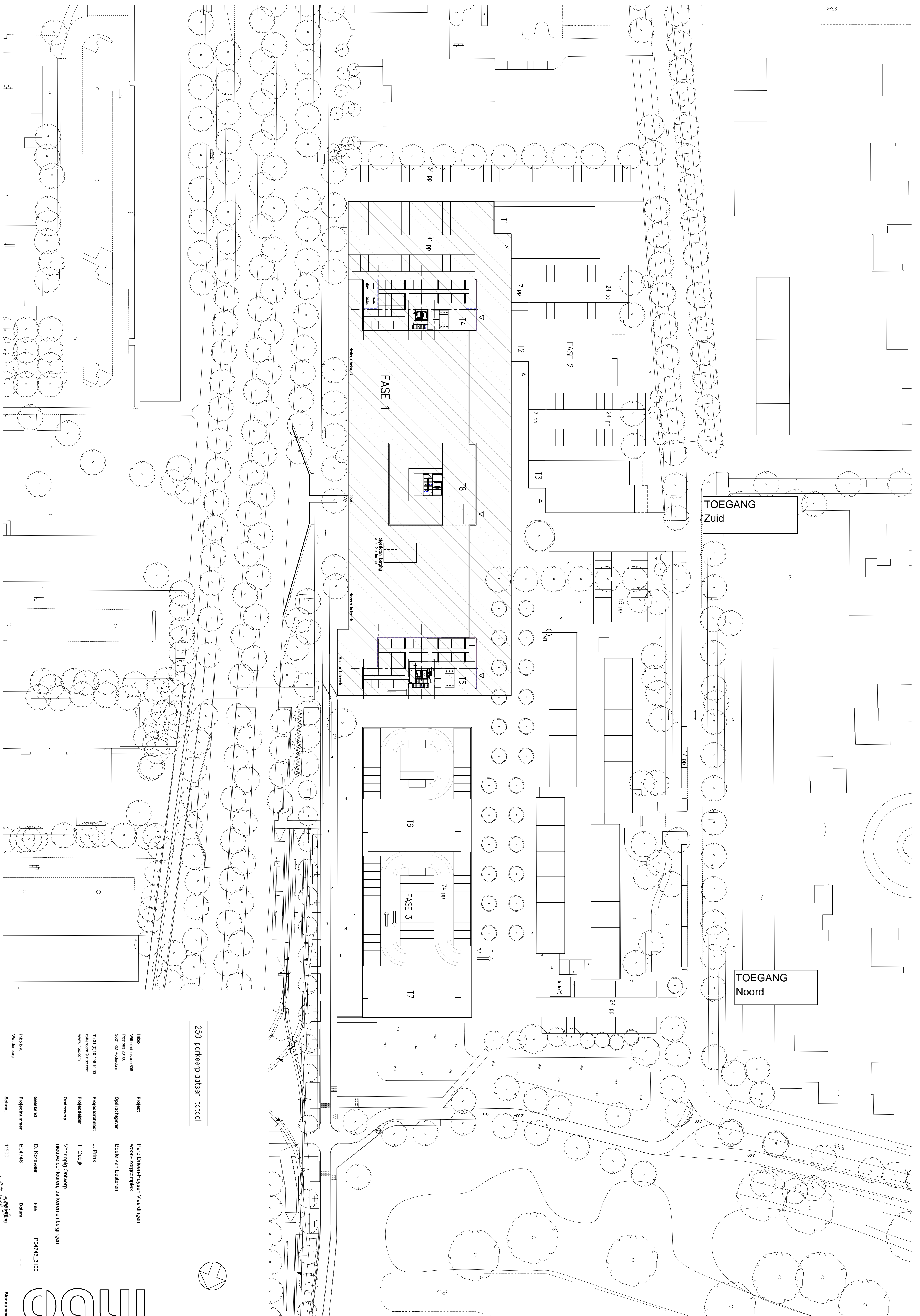
Op grond van de voornoemde bevindingen wordt geconcludeerd dat het aspect luchtkwaliteit geen belemmering vormt voor de ruimtelijke procedure aangaande de realisatie van Parc Drieën-Huysen.



Bijlage 1: Overzicht van rekenmodel en toetspunten



Figuur 1: Situering Parc Drieën-Huysen



250 parkeerplaatsen totaal

Info
 Wilhelminadreef 308
 Postbus 23100
 3001 KD Rotterdam
 T +31 (0)10 488 19 00
 info@ihb.com
 www.ihb.com

Project
 Parc Driem-Huysen Vaardingen
 woon- zorgcomplex
 Boele van Eesteren

Opdrachtgever
 Boele van Eesteren

Projectarchitect
 J. Prins

Projectleider
 T. Oudijk

Onderwerp
 Voorlopig Ontwerp
 nieuwe contouren, parkeren en begroening

Geleend
 D. Koevaar

Projectnummer
 B04746

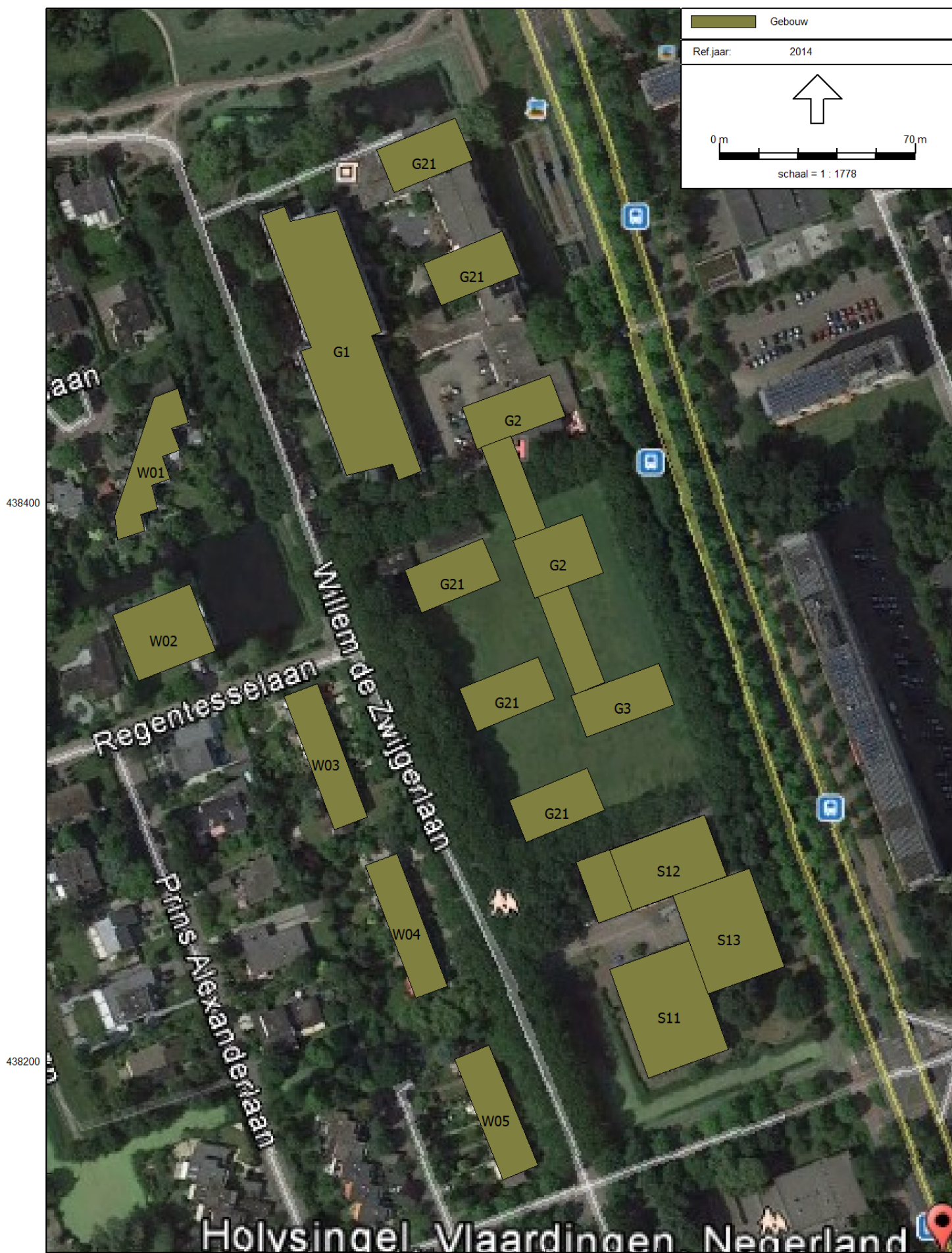
Schaal
 1:300

Formaat
 A1

File
 P04746_3100

Datum

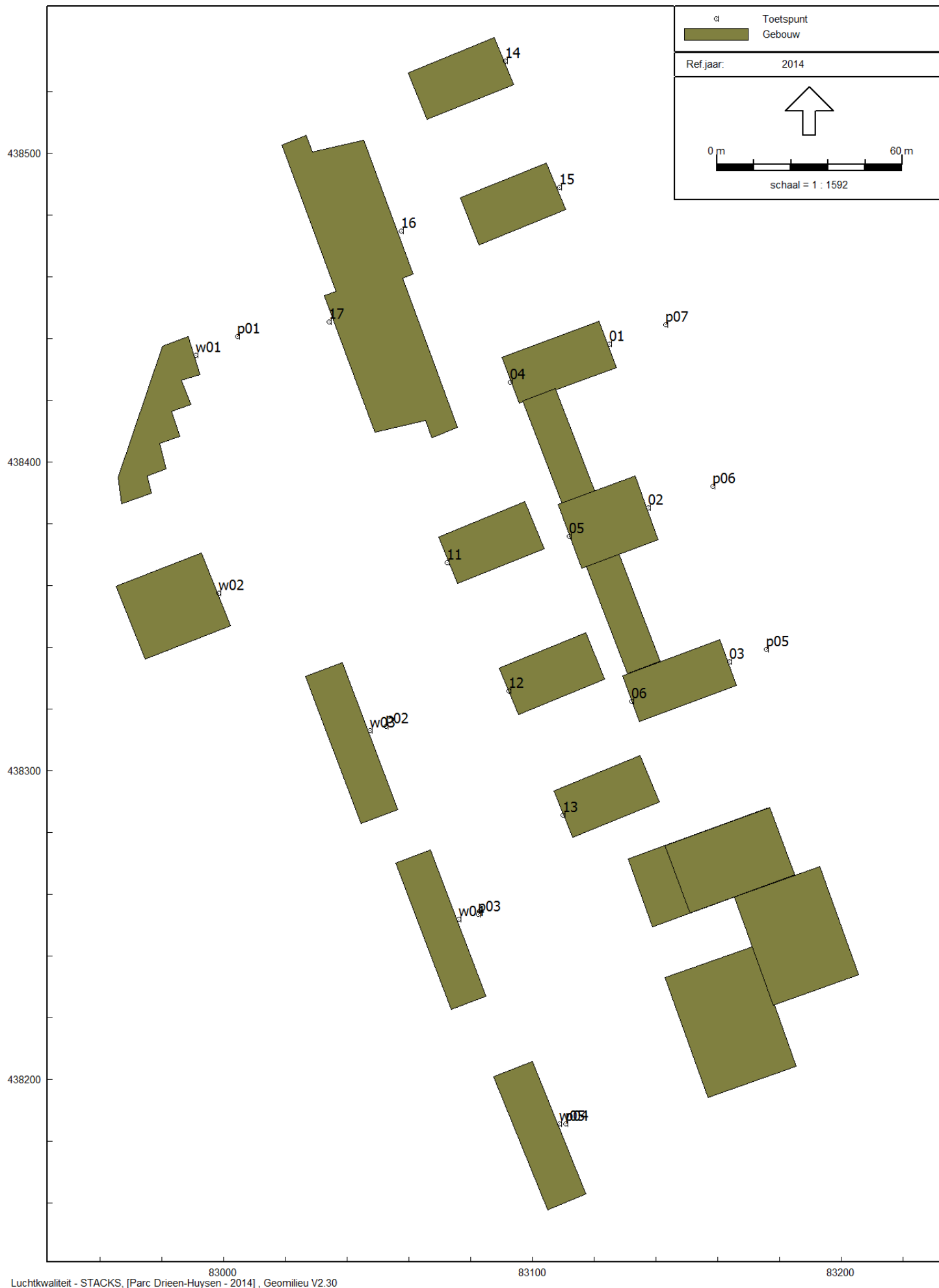
07-01-2019 wijziging
 wijzigingsdatum



Luchtkwaliteit - STACKS, [Parc Drieen-Huysen - 2014], Geomilieu V2.30

83200

Figuur 3
Overzicht gebouwen



Luchtkwaliteit - STACKS, [Parc Drieen-Huysen - 2014], Geomilieu V2.30

Figuur 4:
Overzicht rekenpunten



Luchtkwaliteit - STACKS, [Parc Drieen-Huysen - 2014], Geomilieu V2.30

Figuur 5:
Overzicht wegen



Bijlage 2: Invoergegevens rekenmodel

Rapport: Lijst van model eigenschappen
Model: 2014

Model eigenschap

| | |
|----------------------------|--------------------------|
| Omschrijving | 2014 |
| Verantwoordelijke | pvdw |
| Rekenmethode | STACKS |
| Aangemaakt door | pvdw op 8-1-2014 |
| Laatst ingezien door | pvdw op 8-1-2014 |
| Model aangemaakt met | Geomilieu V2.30 |
| Referentiejaar | 2014 |
| GCN referentiepunt | X: 83174.82 Y: 437911.07 |
| Rekenperiode | 1-1-1995 tot 31-12-2004 |
| Stoffen | NO2, PM10 |
| Zeezoutcorrectie | Ja |
| Weekend verkeersverdeling | Weekdag |
| Verkeersverdeling zaterdag | L: 0.87, M: 0.52, H 0.33 |
| Verkeersverdeling zondag | L: 0.84, M: 0.34, H 0.16 |
| Terreinruwheid | 0.88 |
| Steekproefberekening | Nee |
| Berekening met achtergrond | Ja |
| Custom meteo | Nee |
| Store journal files | Nee |
| Custom emission file | Nee |

Invoergegevens
rekenmodel

Aveco de Bondt
13.1774

Model: 2014
Groep: (hoofdgroep)
Lijst van Wegen, voor rekenmethode Luchtkwaliteit - STACKS

| Naam | Omschr. | Type | Wegtype | V | Breedte | Vent.F | Hschem | Can. | H(L) | Can. | H(R) |
|------|--|-----------|---------|----|---------|--------|--------|------|------|------|------|
| M01 | WdZ-laan zn | Verdeling | Normaal | 50 | 7,00 | 0,00 | 0,00 | | 0,00 | | 0,00 |
| M02 | WdZ-laan nz | Verdeling | Normaal | 50 | 7,00 | 0,00 | 0,00 | | 0,00 | | 0,00 |
| M03 | Holysingel zn | Verdeling | Normaal | 50 | 7,00 | 0,00 | 0,00 | | 0,00 | | 0,00 |
| M04 | Holysingel nz | Verdeling | Normaal | 50 | 7,00 | 0,00 | 0,00 | | 0,00 | | 0,00 |
| M11 | Parc 3H via WdZlaan (beide richtingen) | Verdeling | Normaal | 50 | 7,00 | 0,00 | 0,00 | | 0,00 | | 0,00 |
| M12 | Parc 3H via WdZlaan (beide richtingen) noord | Verdeling | Normaal | 50 | 7,00 | 0,00 | 0,00 | | 0,00 | | 0,00 |

Invoergegevens
rekenmodel

Aveco de Bondt
13.1774

Model: 2014
Groep: (hoofdgroep)
Lijst van Wegen, voor rekenmethode Luchtkwaliteit - STACKS

| Naam | Can. br | Vent.X | Vent.Y | Vent.H | Int.diam. | Ext.diam. | Flux | Gas temp | Warmte | Hweg | Fboom | Totaal aantal | %Int(D) |
|------|---------|--------|--------|--------|-----------|-----------|------|----------|--------|------|-------|---------------|---------|
| M01 | 0,00 | -- | -- | 1,50 | 1,00 | 1,10 | 0,10 | 285,0 | 0,00 | 0,00 | 1.00 | 134,00 | 6,52 |
| M02 | 0,00 | -- | -- | 1,50 | 1,00 | 1,10 | 0,10 | 285,0 | 0,00 | 0,00 | 1.00 | 113,00 | 6,52 |
| M03 | 0,00 | -- | -- | 1,50 | 1,00 | 1,10 | 0,10 | 285,0 | 0,00 | 0,00 | 1.00 | 5730,00 | 6,52 |
| M04 | 0,00 | -- | -- | 1,50 | 1,00 | 1,10 | 0,10 | 285,0 | 0,00 | 0,00 | 1.00 | 5354,00 | 6,52 |
| M11 | 0,00 | -- | -- | 1,50 | 1,00 | 1,10 | 0,10 | 285,0 | 0,00 | 0,00 | 1.00 | 1405,00 | 6,52 |
| M12 | 0,00 | -- | -- | 1,50 | 1,00 | 1,10 | 0,10 | 285,0 | 0,00 | 0,00 | 1.00 | 703,00 | 6,52 |

Invoergegevens
rekenmodel

Aveco de Bondt
13.1774

Model: 2014
Groep: (hoofdgroep)
Lijst van Wegen, voor rekenmethode Luchtkwaliteit - STACKS

| Naam | %Int (A) | %Int (N) | %LV (D) | %LV (A) | %LV (N) | %MV (D) | %MV (A) | %MV (N) | %ZV (D) | %ZV (A) | %ZV (N) |
|------|----------|----------|---------|---------|---------|---------|---------|---------|---------|---------|---------|
| M01 | 3,98 | 0,74 | 90,74 | 96,21 | 88,16 | 6,00 | 2,40 | 6,97 | 3,53 | 1,39 | 4,87 |
| M02 | 3,98 | 0,74 | 90,74 | 96,21 | 88,16 | 6,00 | 2,40 | 6,97 | 3,53 | 1,39 | 4,87 |
| M03 | 3,98 | 0,74 | 90,74 | 96,21 | 88,16 | 6,00 | 2,40 | 6,97 | 3,53 | 1,39 | 4,87 |
| M04 | 3,98 | 0,74 | 90,74 | 96,21 | 88,16 | 6,00 | 2,40 | 6,97 | 3,53 | 1,39 | 4,87 |
| M11 | 3,98 | 0,74 | 90,74 | 96,21 | 88,16 | 6,00 | 2,40 | 6,97 | 3,53 | 1,39 | 4,87 |
| M12 | 3,98 | 0,74 | 90,74 | 96,21 | 88,16 | 6,00 | 2,40 | 6,97 | 3,53 | 1,39 | 4,87 |

Invoergegevens
rekenmodel

Aveco de Bondt
13.1774

Model: 2014
Groep: (hoofdgroep)
Lijst van Rekenpunten, voor rekenmethode Luchtkwaliteit - STACKS

| Naam | Omschr. | X | Y |
|------|--------------------|----------|-----------|
| p01 | 10 m van WdZ-laan | 83004,31 | 438440,80 |
| p02 | 10 m van WdZ-laan | 83052,55 | 438314,36 |
| p03 | 10 m van WdZ-laan | 83082,48 | 438253,49 |
| p04 | 10 m van WdZ-laan | 83110,67 | 438185,54 |
| p05 | 10 m van H-singel | 83175,64 | 438339,45 |
| p06 | 10 m van H-singel | 83158,36 | 438392,18 |
| p07 | 10 m van H-singel | 83143,15 | 438444,52 |
| w01 | woningen Pr C-laan | 82990,83 | 438434,61 |
| w02 | woningen R-laan | 82998,28 | 438357,51 |
| w03 | woningen WdZ-laan | 83047,40 | 438313,03 |
| w04 | woningen WdZ-laan | 83076,00 | 438251,83 |
| w05 | woningen WdZ-laan | 83108,59 | 438185,57 |
| 01 | Parc 3H fase 1 no | 83124,92 | 438438,32 |
| 02 | Parc 3H fase 1 o | 83137,54 | 438385,11 |
| 03 | Parc 3H fase 1 zo | 83163,78 | 438335,37 |
| 04 | Parc 3H fase 1 nw | 83092,75 | 438425,95 |
| 05 | Parc 3H fase 1 w | 83111,80 | 438375,95 |
| 06 | Parc 3H fase 1 zw | 83132,10 | 438322,50 |
| 11 | Parc 3H fase 2 | 83072,18 | 438367,37 |
| 12 | Parc 3H fase 2 | 83092,19 | 438325,77 |
| 13 | Parc 3H fase 2 | 83109,80 | 438285,58 |
| 14 | Parc 3H fase 3 | 83091,26 | 438529,87 |
| 15 | Parc 3H fase 3 | 83108,71 | 438488,97 |
| 16 | Parc 3H | 83057,46 | 438474,80 |
| 17 | Parc 3H | 83034,01 | 438445,35 |

Invoergegevens
rekenmodel

Aveco de Bondt
13.1774

Model: 2014
Groep: (hoofdgroep)
Lijst van Gebouwen, voor rekenmethode Luchtkwaliteit - STACKS

| Naam | Omschr. | Hoogte |
|------|---------------------------|--------|
| G1 | Parc 3H | 14,00 |
| G2 | Parc 3H | 27,60 |
| G2 | Parc 3H | 30,60 |
| G21 | Parc 3H fase 3 | 30,60 |
| G21 | Parc 3H fase 2 | 21,00 |
| G21 | Parc 3H fase 2 | 15,00 |
| G21 | Parc 3H fase 3 | 30,60 |
| G21 | Parc 3H fase 2 | 15,00 |
| G3 | Parc 3H | 27,60 |
| G4 | Parc 3H | 4,00 |
| S11 | School | 12,00 |
| S12 | School | 5,00 |
| S12 | School | 20,00 |
| S13 | School | 20,00 |
| W01 | Woningen Pr.Christinalaan | 8,00 |
| W02 | Woningen Regentesselaan | 8,00 |
| W03 | Woningen WdZwijgerlaan | 8,00 |
| W04 | Woningen WdZwijgerlaan | 8,00 |
| W05 | Woningen WdZwijgerlaan | 8,00 |

Invoergegevens
rekenmodel

Aveco de Bondt
13.1774

Model: 2015
Groep: (hoofdgroep)
Lijst van Wegen, voor rekenmethode Luchtkwaliteit - STACKS

| Naam | Omschr. | Type | Wegtype | V | Breedte | Vent.F | Hschem | Can. | H(L) | Can. | H(R) |
|------|--|-----------|---------|----|---------|--------|--------|------|------|------|------|
| M01 | WdZ-laan zn | Verdeling | Normaal | 50 | 7,00 | 0,00 | 0,00 | | 0,00 | | 0,00 |
| M02 | WdZ-laan nz | Verdeling | Normaal | 50 | 7,00 | 0,00 | 0,00 | | 0,00 | | 0,00 |
| M03 | Holysingel zn | Verdeling | Normaal | 50 | 7,00 | 0,00 | 0,00 | | 0,00 | | 0,00 |
| M04 | Holysingel nz | Verdeling | Normaal | 50 | 7,00 | 0,00 | 0,00 | | 0,00 | | 0,00 |
| M11 | Parc 3H via WdZlaan (beide richtingen) | Verdeling | Normaal | 50 | 7,00 | 0,00 | 0,00 | | 0,00 | | 0,00 |
| M12 | Parc 3H via WdZlaan (beide richtingen) noord | Verdeling | Normaal | 50 | 7,00 | 0,00 | 0,00 | | 0,00 | | 0,00 |

Invoergegevens
rekenmodel

Aveco de Bondt
13.1774

Model: 2015
Groep: (hoofdgroep)
Lijst van Wegen, voor rekenmethode Luchtkwaliteit - STACKS

| Naam | Can. br | Vent.X | Vent.Y | Vent.H | Int.diam. | Ext.diam. | Flux | Gas temp | Warmte | Hweg | Fboom | Totaal aantal | %Int(D) |
|------|---------|--------|--------|--------|-----------|-----------|------|----------|--------|------|-------|---------------|---------|
| M01 | 0,00 | -- | -- | 1,50 | 1,00 | 1,10 | 0,10 | 285,0 | 0,00 | 0,00 | 1.00 | 136,00 | 6,52 |
| M02 | 0,00 | -- | -- | 1,50 | 1,00 | 1,10 | 0,10 | 285,0 | 0,00 | 0,00 | 1.00 | 115,00 | 6,52 |
| M03 | 0,00 | -- | -- | 1,50 | 1,00 | 1,10 | 0,10 | 285,0 | 0,00 | 0,00 | 1.00 | 5816,00 | 6,52 |
| M04 | 0,00 | -- | -- | 1,50 | 1,00 | 1,10 | 0,10 | 285,0 | 0,00 | 0,00 | 1.00 | 5435,00 | 6,52 |
| M11 | 0,00 | -- | -- | 1,50 | 1,00 | 1,10 | 0,10 | 285,0 | 0,00 | 0,00 | 1.00 | 1405,00 | 6,52 |
| M12 | 0,00 | -- | -- | 1,50 | 1,00 | 1,10 | 0,10 | 285,0 | 0,00 | 0,00 | 1.00 | 703,00 | 6,52 |

Invoergegevens
rekenmodel

Aveco de Bondt
13.1774

Model: 2015
Groep: (hoofdgroep)
Lijst van Wegen, voor rekenmethode Luchtkwaliteit - STACKS

| Naam | %Int (A) | %Int (N) | %LV (D) | %LV (A) | %LV (N) | %MV (D) | %MV (A) | %MV (N) | %ZV (D) | %ZV (A) | %ZV (N) |
|------|----------|----------|---------|---------|---------|---------|---------|---------|---------|---------|---------|
| M01 | 3,98 | 0,74 | 90,74 | 96,21 | 88,16 | 6,00 | 2,40 | 6,97 | 3,53 | 1,39 | 4,87 |
| M02 | 3,98 | 0,74 | 90,74 | 96,21 | 88,16 | 6,00 | 2,40 | 6,97 | 3,53 | 1,39 | 4,87 |
| M03 | 3,98 | 0,74 | 90,74 | 96,21 | 88,16 | 6,00 | 2,40 | 6,97 | 3,53 | 1,39 | 4,87 |
| M04 | 3,98 | 0,74 | 90,74 | 96,21 | 88,16 | 6,00 | 2,40 | 6,97 | 3,53 | 1,39 | 4,87 |
| M11 | 3,98 | 0,74 | 90,74 | 96,21 | 88,16 | 6,00 | 2,40 | 6,97 | 3,53 | 1,39 | 4,87 |
| M12 | 3,98 | 0,74 | 90,74 | 96,21 | 88,16 | 6,00 | 2,40 | 6,97 | 3,53 | 1,39 | 4,87 |

Invoergegevens
rekenmodel

Aveco de Bondt
13.1774

Model: 2020
Groep: (hoofdgroep)
Lijst van Wegen, voor rekenmethode Luchtkwaliteit - STACKS

| Naam | Omschr. | Type | Wegtype | V | Breedte | Vent.F | Hschem | Can. | H(L) | Can. | H(R) |
|------|--|-----------|---------|----|---------|--------|--------|------|------|------|------|
| M01 | WdZ-laan zn | Verdeling | Normaal | 50 | 7,00 | 0,00 | 0,00 | | 0,00 | | 0,00 |
| M02 | WdZ-laan nz | Verdeling | Normaal | 50 | 7,00 | 0,00 | 0,00 | | 0,00 | | 0,00 |
| M03 | Holysingel zn | Verdeling | Normaal | 50 | 7,00 | 0,00 | 0,00 | | 0,00 | | 0,00 |
| M04 | Holysingel nz | Verdeling | Normaal | 50 | 7,00 | 0,00 | 0,00 | | 0,00 | | 0,00 |
| M11 | Parc 3H via WdZlaan (beide richtingen) | Verdeling | Normaal | 50 | 7,00 | 0,00 | 0,00 | | 0,00 | | 0,00 |
| M12 | Parc 3H via WdZlaan (beide richtingen) noord | Verdeling | Normaal | 50 | 7,00 | 0,00 | 0,00 | | 0,00 | | 0,00 |

Invoergegevens
rekenmodel

Aveco de Bondt
13.1774

Model: 2020
Groep: (hoofdgroep)
Lijst van Wegen, voor rekenmethode Luchtkwaliteit - STACKS

| Naam | Can. br | Vent.X | Vent.Y | Vent.H | Int.diam. | Ext.diam. | Flux | Gas temp | Warmte | Hweg | Fboom | Totaal aantal | %Int(D) |
|------|---------|--------|--------|--------|-----------|-----------|------|----------|--------|------|-------|---------------|---------|
| M01 | 0,00 | -- | -- | 1,50 | 1,00 | 1,10 | 0,10 | 285,0 | 0,00 | 0,00 | 1.00 | 146,00 | 6,52 |
| M02 | 0,00 | -- | -- | 1,50 | 1,00 | 1,10 | 0,10 | 285,0 | 0,00 | 0,00 | 1.00 | 124,00 | 6,52 |
| M03 | 0,00 | -- | -- | 1,50 | 1,00 | 1,10 | 0,10 | 285,0 | 0,00 | 0,00 | 1.00 | 6263,00 | 6,52 |
| M04 | 0,00 | -- | -- | 1,50 | 1,00 | 1,10 | 0,10 | 285,0 | 0,00 | 0,00 | 1.00 | 5852,00 | 6,52 |
| M11 | 0,00 | -- | -- | 1,50 | 1,00 | 1,10 | 0,10 | 285,0 | 0,00 | 0,00 | 1.00 | 1405,00 | 6,52 |
| M12 | 0,00 | -- | -- | 1,50 | 1,00 | 1,10 | 0,10 | 285,0 | 0,00 | 0,00 | 1.00 | 703,00 | 6,52 |

Invoergegevens
rekenmodel

Aveco de Bondt
13.1774

Model: 2020
Groep: (hoofdgroep)
Lijst van Wegen, voor rekenmethode Luchtkwaliteit - STACKS

| Naam | %Int (A) | %Int (N) | %LV (D) | %LV (A) | %LV (N) | %MV (D) | %MV (A) | %MV (N) | %ZV (D) | %ZV (A) | %ZV (N) |
|------|----------|----------|---------|---------|---------|---------|---------|---------|---------|---------|---------|
| M01 | 3,98 | 0,74 | 90,74 | 96,21 | 88,16 | 6,00 | 2,40 | 6,97 | 3,53 | 1,39 | 4,87 |
| M02 | 3,98 | 0,74 | 90,74 | 96,21 | 88,16 | 6,00 | 2,40 | 6,97 | 3,53 | 1,39 | 4,87 |
| M03 | 3,98 | 0,74 | 90,74 | 96,21 | 88,16 | 6,00 | 2,40 | 6,97 | 3,53 | 1,39 | 4,87 |
| M04 | 3,98 | 0,74 | 90,74 | 96,21 | 88,16 | 6,00 | 2,40 | 6,97 | 3,53 | 1,39 | 4,87 |
| M11 | 3,98 | 0,74 | 90,74 | 96,21 | 88,16 | 6,00 | 2,40 | 6,97 | 3,53 | 1,39 | 4,87 |
| M12 | 3,98 | 0,74 | 90,74 | 96,21 | 88,16 | 6,00 | 2,40 | 6,97 | 3,53 | 1,39 | 4,87 |

Invoergegevens
rekenmodel

Aveco de Bondt
13.1774

Model: 2024
Groep: (hoofdgroep)
Lijst van Wegen, voor rekenmethode Luchtkwaliteit - STACKS

| Naam | Omschr. | Type | Wegtype | V | Breedte | Vent.F | Hschem | Can. | H(L) | Can. | H(R) |
|------|--|-----------|---------|----|---------|--------|--------|------|------|------|------|
| M01 | WdZ-laan zn | Verdeling | Normaal | 50 | 7,00 | 0,00 | 0,00 | | 0,00 | | 0,00 |
| M02 | WdZ-laan nz | Verdeling | Normaal | 50 | 7,00 | 0,00 | 0,00 | | 0,00 | | 0,00 |
| M03 | Holysingel zn | Verdeling | Normaal | 50 | 7,00 | 0,00 | 0,00 | | 0,00 | | 0,00 |
| M04 | Holysingel nz | Verdeling | Normaal | 50 | 7,00 | 0,00 | 0,00 | | 0,00 | | 0,00 |
| M11 | Parc 3H via WdZlaan (beide richtingen) | Verdeling | Normaal | 50 | 7,00 | 0,00 | 0,00 | | 0,00 | | 0,00 |
| M12 | Parc 3H via WdZlaan (beide richtingen) noord | Verdeling | Normaal | 50 | 7,00 | 0,00 | 0,00 | | 0,00 | | 0,00 |

Invoergegevens
rekenmodel

Aveco de Bondt
13.1774

Model: 2024
Groep: (hoofdgroep)
Lijst van Wegen, voor rekenmethode Luchtkwaliteit - STACKS

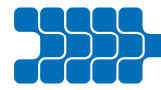
| Naam | Can. br | Vent.X | Vent.Y | Vent.H | Int.diam. | Ext.diam. | Flux | Gas temp | Warmte | Hweg | Fboom | Totaal aantal | %Int(D) |
|------|---------|--------|--------|--------|-----------|-----------|------|----------|--------|------|-------|---------------|---------|
| M01 | 0,00 | -- | -- | 1,50 | 1,00 | 1,10 | 0,10 | 285,0 | 0,00 | 0,00 | 1.00 | 155,00 | 6,52 |
| M02 | 0,00 | -- | -- | 1,50 | 1,00 | 1,10 | 0,10 | 285,0 | 0,00 | 0,00 | 1.00 | 132,00 | 6,52 |
| M03 | 0,00 | -- | -- | 1,50 | 1,00 | 1,10 | 0,10 | 285,0 | 0,00 | 0,00 | 1.00 | 6652,00 | 6,52 |
| M04 | 0,00 | -- | -- | 1,50 | 1,00 | 1,10 | 0,10 | 285,0 | 0,00 | 0,00 | 1.00 | 6216,00 | 6,52 |
| M11 | 0,00 | -- | -- | 1,50 | 1,00 | 1,10 | 0,10 | 285,0 | 0,00 | 0,00 | 1.00 | 1405,00 | 6,52 |
| M12 | 0,00 | -- | -- | 1,50 | 1,00 | 1,10 | 0,10 | 285,0 | 0,00 | 0,00 | 1.00 | 703,00 | 6,52 |

Invoergegevens
rekenmodel

Aveco de Bondt
13.1774

Model: 2024
Groep: (hoofdgroep)
Lijst van Wegen, voor rekenmethode Luchtkwaliteit - STACKS

| Naam | %Int (A) | %Int (N) | %LV (D) | %LV (A) | %LV (N) | %MV (D) | %MV (A) | %MV (N) | %ZV (D) | %ZV (A) | %ZV (N) |
|------|----------|----------|---------|---------|---------|---------|---------|---------|---------|---------|---------|
| M01 | 3,98 | 0,74 | 90,74 | 96,21 | 88,16 | 6,00 | 2,40 | 6,97 | 3,53 | 1,39 | 4,87 |
| M02 | 3,98 | 0,74 | 90,74 | 96,21 | 88,16 | 6,00 | 2,40 | 6,97 | 3,53 | 1,39 | 4,87 |
| M03 | 3,98 | 0,74 | 90,74 | 96,21 | 88,16 | 6,00 | 2,40 | 6,97 | 3,53 | 1,39 | 4,87 |
| M04 | 3,98 | 0,74 | 90,74 | 96,21 | 88,16 | 6,00 | 2,40 | 6,97 | 3,53 | 1,39 | 4,87 |
| M11 | 3,98 | 0,74 | 90,74 | 96,21 | 88,16 | 6,00 | 2,40 | 6,97 | 3,53 | 1,39 | 4,87 |
| M12 | 3,98 | 0,74 | 90,74 | 96,21 | 88,16 | 6,00 | 2,40 | 6,97 | 3,53 | 1,39 | 4,87 |



Bijlage 3: Verkeersintensiteiten



| Aantallen/jaartal | motorvoertuigbewegingen per etmaal (jaarlijks +1,5% t.o.v. 2012) | | | | |
|--|--|------|------|------|------|
| | 2012 *) | 2014 | 2015 | 2020 | 2024 |
| Willem de Zwijgerlaan (richting noorden) | 130 | 134 | 136 | 146 | 155 |
| Willem de Zwijgerlaan (richting zuiden) | 110 | 113 | 115 | 124 | 132 |
| Holysingel (richting noorden) | 5562 | 5730 | 5816 | 6263 | 6652 |
| Holysingel (richting zuiden) | 5197 | 5354 | 5435 | 5852 | 6216 |

*) Bron: NSL monitoringstool van RIVM



Bijlage 4: Rekenresultaten NO₂ en PM₁₀

Rapport: Resultatentabel
Model: emissie Parc 3H
Resultaten voor model: emissie Parc 3H
Stof: NO2 - Stikstofdioxide
Referentiejaar: 2014

| Naam | Omschrijving | X-coördinaat | Y-coördinaat | Conc. [$\mu\text{g}/\text{m}^3$] | AG [$\mu\text{g}/\text{m}^3$] | BRON [$\mu\text{g}/\text{m}^3$] | # > limiet |
|------|--------------------|--------------|--------------|------------------------------------|---------------------------------|-----------------------------------|------------|
| 13 | Parc 3H fase 2 | 83109,80 | 438285,58 | 28,1 | 27,4 | 0,7 | 0 |
| 12 | Parc 3H fase 2 | 83092,19 | 438325,77 | 28,1 | 27,4 | 0,7 | 0 |
| p02 | 10 m van WdZ-laan | 83052,55 | 438314,36 | 27,8 | 27,4 | 0,4 | 0 |
| p03 | 10 m van WdZ-laan | 83082,48 | 438253,49 | 27,8 | 27,4 | 0,4 | 0 |
| w03 | woningen WdZ-laan | 83047,40 | 438313,03 | 27,7 | 27,4 | 0,3 | 0 |
| w04 | woningen WdZ-laan | 83076,00 | 438251,83 | 27,7 | 27,4 | 0,3 | 0 |
| 11 | Parc 3H fase 2 | 83072,18 | 438367,37 | 27,7 | 27,4 | 0,3 | 0 |
| w05 | woningen WdZ-laan | 83108,59 | 438185,57 | 27,7 | 27,4 | 0,3 | 0 |
| 16 | Parc 3H | 83057,46 | 438474,80 | 27,7 | 27,4 | 0,3 | 0 |
| p04 | 10 m van WdZ-laan | 83110,67 | 438185,54 | 27,7 | 27,4 | 0,3 | 0 |
| p01 | 10 m van WdZ-laan | 83004,31 | 438440,80 | 27,6 | 27,4 | 0,2 | 0 |
| 06 | Parc 3H fase 1 zw | 83132,10 | 438322,50 | 27,6 | 27,4 | 0,2 | 0 |
| 15 | Parc 3H fase 3 | 83108,71 | 438488,97 | 27,6 | 27,4 | 0,2 | 0 |
| 17 | Parc 3H | 83034,01 | 438445,35 | 27,6 | 27,4 | 0,2 | 0 |
| 05 | Parc 3H fase 1 w | 83111,80 | 438375,95 | 27,5 | 27,4 | 0,1 | 0 |
| 14 | Parc 3H fase 3 | 83091,26 | 438529,87 | 27,5 | 27,4 | 0,1 | 0 |
| p07 | 10 m van H-singel | 83143,15 | 438444,52 | 27,5 | 27,4 | 0,1 | 0 |
| w01 | woningen Pr C-laan | 82990,83 | 438434,61 | 25,0 | 24,9 | 0,1 | 0 |
| p05 | 10 m van H-singel | 83175,64 | 438339,45 | 27,5 | 27,4 | 0,1 | 0 |
| p06 | 10 m van H-singel | 83158,36 | 438392,18 | 27,5 | 27,4 | 0,1 | 0 |
| w02 | woningen R-laan | 82998,28 | 438357,51 | 25,0 | 24,9 | 0,1 | 0 |
| 03 | Parc 3H fase 1 zo | 83163,78 | 438335,37 | 27,5 | 27,4 | 0,1 | 0 |
| 04 | Parc 3H fase 1 nw | 83092,75 | 438425,95 | 27,5 | 27,4 | 0,1 | 0 |
| 01 | Parc 3H fase 1 no | 83124,92 | 438438,32 | 27,5 | 27,4 | 0,1 | 0 |
| 02 | Parc 3H fase 1 o | 83137,54 | 438385,11 | 27,5 | 27,4 | 0,1 | 0 |

Rapport: Resultatentabel
 Model: emissie Parc 3H
 Resultaten voor model: emissie Parc 3H
 Stof: PM10 - Fijn stof
 Zeezoutcorrectie: Ja
 Referentiejaar: 2014

| Naam | Omschrijving | X-coördinaat | Y-coördinaat | Conc. [$\mu\text{g}/\text{m}^3$] | AG [$\mu\text{g}/\text{m}^3$] | BRON [$\mu\text{g}/\text{m}^3$] | # | > limiet |
|------|--------------------|--------------|--------------|------------------------------------|---------------------------------|-----------------------------------|---|----------|
| 13 | Parc 3H fase 2 | 83109,80 | 438285,58 | 21,2 | 21,1 | 0,1 | | 10 |
| 12 | Parc 3H fase 2 | 83092,19 | 438325,77 | 21,2 | 21,1 | 0,1 | | 10 |
| p03 | 10 m van WdZ-laan | 83082,48 | 438253,49 | 21,2 | 21,1 | 0,1 | | 10 |
| 05 | Parc 3H fase 1 w | 83111,80 | 438375,95 | 21,2 | 21,1 | 0,0 | | 10 |
| 06 | Parc 3H fase 1 zw | 83132,10 | 438322,50 | 21,2 | 21,2 | 0,0 | | 10 |
| 04 | Parc 3H fase 1 nw | 83092,75 | 438425,95 | 21,2 | 21,1 | 0,0 | | 10 |
| 02 | Parc 3H fase 1 o | 83137,54 | 438385,11 | 21,2 | 21,1 | 0,0 | | 10 |
| 03 | Parc 3H fase 1 zo | 83163,78 | 438335,37 | 21,2 | 21,1 | 0,0 | | 10 |
| 14 | Parc 3H fase 3 | 83091,26 | 438529,87 | 21,2 | 21,1 | 0,0 | | 10 |
| 15 | Parc 3H fase 3 | 83108,71 | 438488,97 | 21,2 | 21,1 | 0,0 | | 10 |
| 16 | Parc 3H | 83057,46 | 438474,80 | 21,2 | 21,1 | 0,0 | | 10 |
| 11 | Parc 3H fase 2 | 83072,18 | 438367,37 | 21,2 | 21,2 | 0,0 | | 10 |
| 17 | Parc 3H | 83034,01 | 438445,35 | 21,2 | 21,2 | 0,0 | | 10 |
| p05 | 10 m van H-singel | 83175,64 | 438339,45 | 21,2 | 21,1 | 0,0 | | 10 |
| p06 | 10 m van H-singel | 83158,36 | 438392,18 | 21,2 | 21,1 | 0,0 | | 10 |
| p07 | 10 m van H-singel | 83143,15 | 438444,52 | 21,2 | 21,1 | 0,0 | | 10 |
| p01 | 10 m van WdZ-laan | 83004,31 | 438440,80 | 21,2 | 21,2 | 0,0 | | 10 |
| p02 | 10 m van WdZ-laan | 83052,55 | 438314,36 | 21,2 | 21,2 | 0,0 | | 10 |
| p04 | 10 m van WdZ-laan | 83110,67 | 438185,54 | 21,2 | 21,2 | 0,0 | | 10 |
| w04 | woningen WdZ-laan | 83076,00 | 438251,83 | 21,2 | 21,1 | 0,0 | | 10 |
| w05 | woningen WdZ-laan | 83108,59 | 438185,57 | 21,2 | 21,1 | 0,0 | | 10 |
| 01 | Parc 3H fase 1 no | 83124,92 | 438438,32 | 21,2 | 21,1 | 0,0 | | 10 |
| w01 | woningen Pr C-laan | 82990,83 | 438434,61 | 20,6 | 20,5 | 0,0 | | 9 |
| w02 | woningen R-laan | 82998,28 | 438357,51 | 20,6 | 20,5 | 0,0 | | 9 |
| w03 | woningen WdZ-laan | 83047,40 | 438313,03 | 21,2 | 21,1 | 0,0 | | 10 |

Rapport: Resultatentabel
Model: 2014
Resultaten voor model: 2014
Stof: NO2 - Stikstofdioxide
Referentiejaar: 2014

| Naam | Omschrijving | X-coördinaat | Y-coördinaat | Conc. [$\mu\text{g}/\text{m}^3$] | AG [$\mu\text{g}/\text{m}^3$] | BRON [$\mu\text{g}/\text{m}^3$] | # > limiet |
|------|--------------------|--------------|--------------|------------------------------------|---------------------------------|-----------------------------------|------------|
| p07 | 10 m van H-singel | 83143,15 | 438444,52 | 28,9 | 27,4 | 1,5 | 0 |
| p05 | 10 m van H-singel | 83175,64 | 438339,45 | 28,8 | 27,4 | 1,4 | 0 |
| p06 | 10 m van H-singel | 83158,36 | 438392,18 | 28,8 | 27,4 | 1,4 | 0 |
| 03 | Parc 3H fase 1 zo | 83163,78 | 438335,37 | 28,3 | 27,4 | 0,9 | 0 |
| 01 | Parc 3H fase 1 no | 83124,92 | 438438,32 | 28,2 | 27,4 | 0,8 | 0 |
| 15 | Parc 3H fase 3 | 83108,71 | 438488,97 | 28,1 | 27,4 | 0,8 | 0 |
| 14 | Parc 3H fase 3 | 83091,26 | 438529,87 | 28,1 | 27,4 | 0,7 | 0 |
| 02 | Parc 3H fase 1 o | 83137,54 | 438385,11 | 28,1 | 27,4 | 0,7 | 0 |
| p03 | 10 m van WdZ-laan | 83082,48 | 438253,49 | 27,9 | 27,4 | 0,5 | 0 |
| 13 | Parc 3H fase 2 | 83109,80 | 438285,58 | 27,8 | 27,4 | 0,5 | 0 |
| 06 | Parc 3H fase 1 zw | 83132,10 | 438322,50 | 27,9 | 27,4 | 0,5 | 0 |
| p02 | 10 m van WdZ-laan | 83052,55 | 438314,36 | 27,8 | 27,4 | 0,5 | 0 |
| 16 | Parc 3H | 83057,46 | 438474,80 | 27,7 | 27,4 | 0,4 | 0 |
| 17 | Parc 3H | 83034,01 | 438445,35 | 27,8 | 27,4 | 0,4 | 0 |
| 11 | Parc 3H fase 2 | 83072,18 | 438367,37 | 27,8 | 27,4 | 0,4 | 0 |
| 12 | Parc 3H fase 2 | 83092,19 | 438325,77 | 27,8 | 27,4 | 0,4 | 0 |
| 05 | Parc 3H fase 1 w | 83111,80 | 438375,95 | 27,8 | 27,4 | 0,4 | 0 |
| w03 | woningen WdZ-laan | 83047,40 | 438313,03 | 27,8 | 27,4 | 0,4 | 0 |
| p04 | 10 m van WdZ-laan | 83110,67 | 438185,54 | 27,8 | 27,4 | 0,4 | 0 |
| w04 | woningen WdZ-laan | 83076,00 | 438251,83 | 27,8 | 27,4 | 0,4 | 0 |
| 04 | Parc 3H fase 1 nw | 83092,75 | 438425,95 | 27,8 | 27,4 | 0,4 | 0 |
| w05 | woningen WdZ-laan | 83108,59 | 438185,57 | 27,8 | 27,4 | 0,4 | 0 |
| p01 | 10 m van WdZ-laan | 83004,31 | 438440,80 | 27,7 | 27,4 | 0,3 | 0 |
| w01 | woningen Pr C-laan | 82990,83 | 438434,61 | 25,1 | 24,9 | 0,2 | 0 |
| w02 | woningen R-laan | 82998,28 | 438357,51 | 25,1 | 24,9 | 0,2 | 0 |

Rapport: Resultatentabel
 Model: 2014
 Resultaten voor model: 2014
 Stof: PM10 - Fijn stof
 Zeezoutcorrectie: Ja
 Referentiejaar: 2014

| Naam | Omschrijving | X-coördinaat | Y-coördinaat | Conc. [$\mu\text{g}/\text{m}^3$] | AG [$\mu\text{g}/\text{m}^3$] | BRON [$\mu\text{g}/\text{m}^3$] | # | > limiet |
|------|--------------------|--------------|--------------|------------------------------------|---------------------------------|-----------------------------------|----|----------|
| p05 | 10 m van H-singel | 83175,64 | 438339,45 | 21,3 | 21,1 | 0,2 | 10 | |
| p06 | 10 m van H-singel | 83158,36 | 438392,18 | 21,3 | 21,1 | 0,2 | 10 | |
| p07 | 10 m van H-singel | 83143,15 | 438444,52 | 21,4 | 21,2 | 0,2 | 10 | |
| 03 | Parc 3H fase 1 zo | 83163,78 | 438335,37 | 21,3 | 21,1 | 0,1 | 10 | |
| 11 | Parc 3H fase 2 | 83072,18 | 438367,37 | 21,2 | 21,1 | 0,1 | 10 | |
| 04 | Parc 3H fase 1 nw | 83092,75 | 438425,95 | 21,2 | 21,1 | 0,1 | 10 | |
| 06 | Parc 3H fase 1 zw | 83132,10 | 438322,50 | 21,2 | 21,2 | 0,1 | 10 | |
| 05 | Parc 3H fase 1 w | 83111,80 | 438375,95 | 21,2 | 21,2 | 0,1 | 10 | |
| 12 | Parc 3H fase 2 | 83092,19 | 438325,77 | 21,2 | 21,1 | 0,1 | 10 | |
| 16 | Parc 3H | 83057,46 | 438474,80 | 21,2 | 21,1 | 0,1 | 10 | |
| 17 | Parc 3H | 83034,01 | 438445,35 | 21,2 | 21,1 | 0,1 | 10 | |
| 15 | Parc 3H fase 3 | 83108,71 | 438488,97 | 21,2 | 21,1 | 0,1 | 10 | |
| 13 | Parc 3H fase 2 | 83109,80 | 438285,58 | 21,2 | 21,1 | 0,1 | 10 | |
| 14 | Parc 3H fase 3 | 83091,26 | 438529,87 | 21,2 | 21,1 | 0,1 | 10 | |
| p02 | 10 m van WdZ-laan | 83052,55 | 438314,36 | 21,2 | 21,2 | 0,1 | 10 | |
| w03 | woningen WdZ-laan | 83047,40 | 438313,03 | 21,2 | 21,1 | 0,1 | 10 | |
| p03 | 10 m van WdZ-laan | 83082,48 | 438253,49 | 21,2 | 21,2 | 0,1 | 10 | |
| p04 | 10 m van WdZ-laan | 83110,67 | 438185,54 | 21,2 | 21,1 | 0,1 | 10 | |
| 01 | Parc 3H fase 1 no | 83124,92 | 438438,32 | 21,2 | 21,1 | 0,1 | 10 | |
| 02 | Parc 3H fase 1 o | 83137,54 | 438385,11 | 21,2 | 21,1 | 0,1 | 10 | |
| w05 | woningen WdZ-laan | 83108,59 | 438185,57 | 21,2 | 21,1 | 0,1 | 10 | |
| w04 | woningen WdZ-laan | 83076,00 | 438251,83 | 21,2 | 21,1 | 0,1 | 10 | |
| p01 | 10 m van WdZ-laan | 83004,31 | 438440,80 | 21,2 | 21,2 | 0,0 | 10 | |
| w02 | woningen R-laan | 82998,28 | 438357,51 | 20,6 | 20,6 | 0,0 | 9 | |
| w01 | woningen Pr C-laan | 82990,83 | 438434,61 | 20,6 | 20,5 | 0,0 | 9 | |

Rapport: Resultatentabel
 Model: 2015
 Resultaten voor model: 2015
 Stof: NO2 - Stikstofdioxide
 Referentiejaar: 2015

| Naam | Omschrijving | X-coördinaat | Y-coördinaat | Conc. [$\mu\text{g}/\text{m}^3$] | AG [$\mu\text{g}/\text{m}^3$] | BRON [$\mu\text{g}/\text{m}^3$] | # > limiet |
|------|--------------------|--------------|--------------|------------------------------------|---------------------------------|-----------------------------------|------------|
| p07 | 10 m van H-singel | 83143,15 | 438444,52 | 28,3 | 26,9 | 1,4 | 0 |
| p05 | 10 m van H-singel | 83175,64 | 438339,45 | 28,2 | 26,9 | 1,3 | 0 |
| p06 | 10 m van H-singel | 83158,36 | 438392,18 | 28,2 | 26,9 | 1,3 | 0 |
| 03 | Parc 3H fase 1 zo | 83163,78 | 438335,37 | 27,7 | 26,9 | 0,8 | 0 |
| 15 | Parc 3H fase 3 | 83108,71 | 438488,97 | 27,6 | 26,9 | 0,7 | 0 |
| 02 | Parc 3H fase 1 o | 83137,54 | 438385,11 | 27,6 | 26,9 | 0,7 | 0 |
| 01 | Parc 3H fase 1 no | 83124,92 | 438438,32 | 27,6 | 26,9 | 0,7 | 0 |
| 14 | Parc 3H fase 3 | 83091,26 | 438529,87 | 27,5 | 26,9 | 0,6 | 0 |
| 06 | Parc 3H fase 1 zw | 83132,10 | 438322,50 | 27,3 | 26,9 | 0,4 | 0 |
| 05 | Parc 3H fase 1 w | 83111,80 | 438375,95 | 27,3 | 26,9 | 0,4 | 0 |
| 04 | Parc 3H fase 1 nw | 83092,75 | 438425,95 | 27,3 | 26,9 | 0,4 | 0 |
| 11 | Parc 3H fase 2 | 83072,18 | 438367,37 | 27,3 | 26,9 | 0,4 | 0 |
| 17 | Parc 3H | 83034,01 | 438445,35 | 27,3 | 26,9 | 0,4 | 0 |
| 13 | Parc 3H fase 2 | 83109,80 | 438285,58 | 27,3 | 26,9 | 0,4 | 0 |
| 12 | Parc 3H fase 2 | 83092,16 | 438325,57 | 27,3 | 26,9 | 0,4 | 0 |
| p04 | 10 m van WdZ-laan | 83110,67 | 438185,54 | 27,3 | 26,9 | 0,4 | 0 |
| w05 | woningen WdZ-laan | 83108,59 | 438185,57 | 27,2 | 26,9 | 0,4 | 0 |
| p02 | 10 m van WdZ-laan | 83052,55 | 438314,36 | 27,3 | 26,9 | 0,4 | 0 |
| p03 | 10 m van WdZ-laan | 83082,48 | 438253,49 | 27,3 | 26,9 | 0,4 | 0 |
| p01 | 10 m van WdZ-laan | 83004,31 | 438440,80 | 27,2 | 26,9 | 0,3 | 0 |
| 16 | Parc 3H | 83057,46 | 438474,80 | 27,2 | 26,9 | 0,3 | 0 |
| w04 | woningen WdZ-laan | 83076,00 | 438251,83 | 27,2 | 26,9 | 0,3 | 0 |
| w03 | woningen WdZ-laan | 83047,40 | 438313,03 | 27,2 | 26,9 | 0,3 | 0 |
| w01 | woningen Pr C-laan | 82990,83 | 438434,61 | 24,7 | 24,5 | 0,2 | 0 |
| w02 | woningen R-laan | 82998,28 | 438357,51 | 24,7 | 24,5 | 0,2 | 0 |

Rapport: Resultatentabel
 Model: 2015
 Resultaten voor model: 2015
 Stof: PM10 - Fijn stof
 Zeezoutcorrectie: Ja
 Referentiejaar: 2015

| Naam | Omschrijving | X-coördinaat | Y-coördinaat | Conc. [$\mu\text{g}/\text{m}^3$] | AG [$\mu\text{g}/\text{m}^3$] | BRON [$\mu\text{g}/\text{m}^3$] | # | > limiet |
|------|--------------------|--------------|--------------|------------------------------------|---------------------------------|-----------------------------------|---|----------|
| p05 | 10 m van H-singel | 83175,64 | 438339,45 | 21,1 | 20,9 | 0,2 | | 10 |
| p06 | 10 m van H-singel | 83158,36 | 438392,18 | 21,1 | 20,9 | 0,2 | | 10 |
| p07 | 10 m van H-singel | 83143,15 | 438444,52 | 21,1 | 20,9 | 0,2 | | 10 |
| 06 | Parc 3H fase 1 zw | 83132,10 | 438322,50 | 21,0 | 20,9 | 0,1 | | 9 |
| 11 | Parc 3H fase 2 | 83072,18 | 438367,37 | 20,9 | 20,9 | 0,1 | | 9 |
| 05 | Parc 3H fase 1 w | 83111,80 | 438375,95 | 20,9 | 20,9 | 0,1 | | 9 |
| 03 | Parc 3H fase 1 zo | 83163,78 | 438335,37 | 21,0 | 20,9 | 0,1 | | 9 |
| 04 | Parc 3H fase 1 nw | 83092,75 | 438425,95 | 20,9 | 20,9 | 0,1 | | 9 |
| 14 | Parc 3H fase 3 | 83091,26 | 438529,87 | 21,0 | 20,9 | 0,1 | | 9 |
| 13 | Parc 3H fase 2 | 83109,80 | 438285,58 | 20,9 | 20,9 | 0,1 | | 9 |
| 15 | Parc 3H fase 3 | 83108,71 | 438488,97 | 21,0 | 20,9 | 0,1 | | 9 |
| 12 | Parc 3H fase 2 | 83092,16 | 438325,57 | 20,9 | 20,9 | 0,1 | | 9 |
| 17 | Parc 3H | 83034,01 | 438445,35 | 20,9 | 20,9 | 0,1 | | 9 |
| 02 | Parc 3H fase 1 o | 83137,54 | 438385,11 | 21,0 | 20,9 | 0,1 | | 9 |
| p02 | 10 m van WdZ-laan | 83052,55 | 438314,36 | 20,9 | 20,9 | 0,1 | | 9 |
| p03 | 10 m van WdZ-laan | 83082,48 | 438253,49 | 20,9 | 20,9 | 0,1 | | 9 |
| p04 | 10 m van WdZ-laan | 83110,67 | 438185,54 | 20,9 | 20,9 | 0,1 | | 9 |
| 01 | Parc 3H fase 1 no | 83124,92 | 438438,32 | 21,0 | 20,9 | 0,1 | | 9 |
| p01 | 10 m van WdZ-laan | 83004,31 | 438440,80 | 20,9 | 20,9 | 0,0 | | 9 |
| 16 | Parc 3H | 83057,46 | 438474,80 | 20,9 | 20,9 | 0,0 | | 9 |
| w04 | woningen WdZ-laan | 83076,00 | 438251,83 | 20,9 | 20,9 | 0,0 | | 9 |
| w05 | woningen WdZ-laan | 83108,59 | 438185,57 | 20,9 | 20,9 | 0,0 | | 9 |
| w03 | woningen WdZ-laan | 83047,40 | 438313,03 | 20,9 | 20,9 | 0,0 | | 9 |
| w01 | woningen Pr C-laan | 82990,83 | 438434,61 | 20,3 | 20,3 | 0,0 | | 8 |
| w02 | woningen R-laan | 82998,28 | 438357,51 | 20,3 | 20,3 | 0,0 | | 8 |

Rapport: Resultatentabel
 Model: 2020
 Resultaten voor model: 2020
 Stof: NO2 - Stikstofdioxide
 Referentiejaar: 2020

| Naam | Omschrijving | X-coördinaat | Y-coördinaat | Conc. [$\mu\text{g}/\text{m}^3$] | AG [$\mu\text{g}/\text{m}^3$] | BRON [$\mu\text{g}/\text{m}^3$] | # > limiet |
|------|--------------------|--------------|--------------|------------------------------------|---------------------------------|-----------------------------------|------------|
| p06 | 10 m van H-singel | 83158,36 | 438392,18 | 23,7 | 22,8 | 0,9 | 0 |
| p05 | 10 m van H-singel | 83175,64 | 438339,45 | 23,7 | 22,8 | 0,9 | 0 |
| p07 | 10 m van H-singel | 83143,15 | 438444,52 | 23,7 | 22,8 | 0,9 | 0 |
| 03 | Parc 3H fase 1 zo | 83163,78 | 438335,37 | 23,4 | 22,8 | 0,6 | 0 |
| 15 | Parc 3H fase 3 | 83108,71 | 438488,97 | 23,3 | 22,8 | 0,5 | 0 |
| 02 | Parc 3H fase 1 o | 83137,54 | 438385,11 | 23,2 | 22,8 | 0,5 | 0 |
| 01 | Parc 3H fase 1 no | 83124,92 | 438438,32 | 23,3 | 22,8 | 0,5 | 0 |
| 14 | Parc 3H fase 3 | 83091,26 | 438529,87 | 23,2 | 22,8 | 0,4 | 0 |
| 05 | Parc 3H fase 1 w | 83111,80 | 438375,95 | 23,1 | 22,8 | 0,3 | 0 |
| 04 | Parc 3H fase 1 nw | 83092,75 | 438425,95 | 23,1 | 22,8 | 0,3 | 0 |
| p02 | 10 m van WdZ-laan | 83052,55 | 438314,36 | 23,1 | 22,8 | 0,3 | 0 |
| 13 | Parc 3H fase 2 | 83109,80 | 438285,58 | 23,1 | 22,8 | 0,3 | 0 |
| 12 | Parc 3H fase 2 | 83092,13 | 438325,65 | 23,1 | 22,8 | 0,3 | 0 |
| 06 | Parc 3H fase 1 zw | 83132,10 | 438322,50 | 23,1 | 22,8 | 0,3 | 0 |
| p03 | 10 m van WdZ-laan | 83082,48 | 438253,49 | 23,1 | 22,8 | 0,3 | 0 |
| p01 | 10 m van WdZ-laan | 83004,31 | 438440,80 | 23,0 | 22,8 | 0,2 | 0 |
| w03 | woningen WdZ-laan | 83047,40 | 438313,03 | 23,0 | 22,8 | 0,2 | 0 |
| 17 | Parc 3H | 83034,01 | 438445,35 | 23,0 | 22,8 | 0,2 | 0 |
| 16 | Parc 3H | 83057,46 | 438474,80 | 23,0 | 22,8 | 0,2 | 0 |
| w04 | woningen WdZ-laan | 83076,00 | 438251,83 | 23,0 | 22,8 | 0,2 | 0 |
| w05 | woningen WdZ-laan | 83108,59 | 438185,57 | 23,0 | 22,8 | 0,2 | 0 |
| p04 | 10 m van WdZ-laan | 83110,67 | 438185,54 | 23,0 | 22,8 | 0,2 | 0 |
| 11 | Parc 3H fase 2 | 83072,18 | 438367,37 | 23,0 | 22,8 | 0,2 | 0 |
| w02 | woningen R-laan | 82998,28 | 438357,51 | 20,8 | 20,7 | 0,1 | 0 |
| w01 | woningen Pr C-laan | 82990,83 | 438434,61 | 20,8 | 20,7 | 0,1 | 0 |

Rapport: Resultatentabel
 Model: 2020
 Resultaten voor model: 2020
 Stof: PM10 - Fijn stof
 Zeezoutcorrectie: Ja
 Referentiejaar: 2020

| Naam | Omschrijving | X-coördinaat | Y-coördinaat | Conc. [$\mu\text{g}/\text{m}^3$] | AG [$\mu\text{g}/\text{m}^3$] | BRON [$\mu\text{g}/\text{m}^3$] | # | > limiet |
|------|--------------------|--------------|--------------|------------------------------------|---------------------------------|-----------------------------------|---|----------|
| p05 | 10 m van H-singel | 83175,64 | 438339,45 | 19,9 | 19,7 | 0,2 | 8 | 8 |
| p06 | 10 m van H-singel | 83158,36 | 438392,18 | 19,9 | 19,7 | 0,2 | 8 | 8 |
| p07 | 10 m van H-singel | 83143,15 | 438444,52 | 19,9 | 19,7 | 0,2 | 8 | 8 |
| 04 | Parc 3H fase 1 nw | 83092,75 | 438425,95 | 19,8 | 19,7 | 0,1 | 7 | 7 |
| 05 | Parc 3H fase 1 w | 83111,80 | 438375,95 | 19,8 | 19,7 | 0,1 | 7 | 7 |
| 02 | Parc 3H fase 1 o | 83137,54 | 438385,11 | 19,8 | 19,7 | 0,1 | 7 | 7 |
| 03 | Parc 3H fase 1 zo | 83163,78 | 438335,37 | 19,8 | 19,7 | 0,1 | 7 | 7 |
| 06 | Parc 3H fase 1 zw | 83132,10 | 438322,50 | 19,8 | 19,7 | 0,1 | 7 | 7 |
| 13 | Parc 3H fase 2 | 83109,80 | 438285,58 | 19,8 | 19,7 | 0,1 | 7 | 7 |
| 12 | Parc 3H fase 2 | 83092,13 | 438325,65 | 19,7 | 19,7 | 0,1 | 7 | 7 |
| 15 | Parc 3H fase 3 | 83108,71 | 438488,97 | 19,8 | 19,7 | 0,1 | 7 | 7 |
| 14 | Parc 3H fase 3 | 83091,26 | 438529,87 | 19,8 | 19,7 | 0,1 | 7 | 7 |
| 01 | Parc 3H fase 1 no | 83124,92 | 438438,32 | 19,8 | 19,7 | 0,1 | 7 | 7 |
| p02 | 10 m van WdZ-laan | 83052,55 | 438314,36 | 19,8 | 19,7 | 0,1 | 7 | 7 |
| p03 | 10 m van WdZ-laan | 83082,48 | 438253,49 | 19,8 | 19,7 | 0,1 | 7 | 7 |
| 17 | Parc 3H | 83034,01 | 438445,35 | 19,7 | 19,7 | 0,0 | 7 | 7 |
| p04 | 10 m van WdZ-laan | 83110,67 | 438185,54 | 19,7 | 19,7 | 0,0 | 7 | 7 |
| p01 | 10 m van WdZ-laan | 83004,31 | 438440,80 | 19,7 | 19,7 | 0,0 | 7 | 7 |
| 16 | Parc 3H | 83057,46 | 438474,80 | 19,7 | 19,7 | 0,0 | 7 | 7 |
| w03 | woningen WdZ-laan | 83047,40 | 438313,03 | 19,7 | 19,7 | 0,0 | 7 | 7 |
| w04 | woningen WdZ-laan | 83076,00 | 438251,83 | 19,7 | 19,7 | 0,0 | 7 | 7 |
| w05 | woningen WdZ-laan | 83108,59 | 438185,57 | 19,7 | 19,7 | 0,0 | 7 | 7 |
| 11 | Parc 3H fase 2 | 83072,18 | 438367,37 | 19,7 | 19,7 | 0,0 | 7 | 7 |
| w01 | woningen Pr C-laan | 82990,83 | 438434,61 | 19,1 | 19,1 | 0,0 | 6 | 6 |
| w02 | woningen R-laan | 82998,28 | 438357,51 | 19,1 | 19,1 | 0,0 | 6 | 6 |

Rapport: Resultatentabel
 Model: 2024
 Resultaten voor model: 2024
 Stof: NO2 - Stikstofdioxide
 Referentiejaar: 2024

| Naam | Omschrijving | X-coördinaat | Y-coördinaat | Conc. [$\mu\text{g}/\text{m}^3$] | AG [$\mu\text{g}/\text{m}^3$] | BRON [$\mu\text{g}/\text{m}^3$] | # > limiet |
|------|--------------------|--------------|--------------|------------------------------------|---------------------------------|-----------------------------------|------------|
| p07 | 10 m van H-singel | 83143,15 | 438444,52 | 22,9 | 22,0 | 0,9 | 0 |
| p05 | 10 m van H-singel | 83175,64 | 438339,45 | 22,9 | 22,0 | 0,8 | 0 |
| p06 | 10 m van H-singel | 83158,36 | 438392,18 | 22,8 | 22,0 | 0,8 | 0 |
| 03 | Parc 3H fase 1 zo | 83163,78 | 438335,37 | 22,6 | 22,0 | 0,5 | 0 |
| 15 | Parc 3H fase 3 | 83108,71 | 438488,97 | 22,5 | 22,0 | 0,4 | 0 |
| 01 | Parc 3H fase 1 no | 83124,92 | 438438,32 | 22,5 | 22,0 | 0,4 | 0 |
| 02 | Parc 3H fase 1 o | 83137,54 | 438385,11 | 22,4 | 22,0 | 0,4 | 0 |
| 14 | Parc 3H fase 3 | 83091,26 | 438529,87 | 22,4 | 22,0 | 0,4 | 0 |
| 05 | Parc 3H fase 1 w | 83111,80 | 438375,95 | 22,3 | 22,0 | 0,3 | 0 |
| 06 | Parc 3H fase 1 zw | 83132,10 | 438322,50 | 22,3 | 22,0 | 0,3 | 0 |
| 12 | Parc 3H fase 2 | 83092,19 | 438325,74 | 22,3 | 22,0 | 0,2 | 0 |
| 11 | Parc 3H fase 2 | 83072,18 | 438367,37 | 22,3 | 22,0 | 0,2 | 0 |
| 16 | Parc 3H | 83057,46 | 438474,80 | 22,2 | 22,0 | 0,2 | 0 |
| p01 | 10 m van WdZ-laen | 83004,31 | 438440,80 | 22,2 | 22,0 | 0,2 | 0 |
| p02 | 10 m van WdZ-laen | 83052,55 | 438314,36 | 22,3 | 22,0 | 0,2 | 0 |
| 13 | Parc 3H fase 2 | 83109,80 | 438285,58 | 22,3 | 22,0 | 0,2 | 0 |
| w03 | woningen WdZ-laen | 83047,40 | 438313,03 | 22,2 | 22,0 | 0,2 | 0 |
| 17 | Parc 3H | 83034,01 | 438445,35 | 22,3 | 22,0 | 0,2 | 0 |
| w05 | woningen WdZ-laen | 83108,59 | 438185,57 | 22,2 | 22,0 | 0,2 | 0 |
| w04 | woningen WdZ-laen | 83076,00 | 438251,83 | 22,2 | 22,0 | 0,2 | 0 |
| 04 | Parc 3H fase 1 nw | 83092,75 | 438425,95 | 22,3 | 22,0 | 0,2 | 0 |
| p03 | 10 m van WdZ-laen | 83082,48 | 438253,49 | 22,3 | 22,0 | 0,2 | 0 |
| p04 | 10 m van WdZ-laen | 83110,67 | 438185,54 | 22,2 | 22,0 | 0,2 | 0 |
| w01 | woningen Pr C-laen | 82990,83 | 438434,61 | 20,2 | 20,1 | 0,1 | 0 |
| w02 | woningen R-laen | 82998,28 | 438357,51 | 20,2 | 20,1 | 0,1 | 0 |

Rapport: Resultatentabel
 Model: 2024
 Resultaten voor model: 2024
 Stof: PM10 - Fijn stof
 Zeezoutcorrectie: Ja
 Referentiejaar: 2024

| Naam | Omschrijving | X-coördinaat | Y-coördinaat | Conc. [$\mu\text{g}/\text{m}^3$] | AG [$\mu\text{g}/\text{m}^3$] | BRON [$\mu\text{g}/\text{m}^3$] | # | > limiet |
|------|--------------------|--------------|--------------|------------------------------------|---------------------------------|-----------------------------------|---|----------|
| p05 | 10 m van H-singel | 83175,64 | 438339,45 | 19,6 | 19,4 | 0,2 | 7 | 7 |
| p06 | 10 m van H-singel | 83158,36 | 438392,18 | 19,6 | 19,4 | 0,2 | 7 | 7 |
| p07 | 10 m van H-singel | 83143,15 | 438444,52 | 19,6 | 19,4 | 0,2 | 7 | 7 |
| 04 | Parc 3H fase 1 nw | 83092,75 | 438425,95 | 19,4 | 19,4 | 0,1 | 7 | 7 |
| 05 | Parc 3H fase 1 w | 83111,80 | 438375,95 | 19,4 | 19,4 | 0,1 | 7 | 7 |
| 02 | Parc 3H fase 1 o | 83137,54 | 438385,11 | 19,5 | 19,4 | 0,1 | 7 | 7 |
| 03 | Parc 3H fase 1 zo | 83163,78 | 438335,37 | 19,5 | 19,4 | 0,1 | 7 | 7 |
| 06 | Parc 3H fase 1 zw | 83132,10 | 438322,50 | 19,4 | 19,4 | 0,1 | 7 | 7 |
| 13 | Parc 3H fase 2 | 83109,80 | 438285,58 | 19,4 | 19,4 | 0,1 | 7 | 7 |
| 12 | Parc 3H fase 2 | 83092,19 | 438325,74 | 19,4 | 19,4 | 0,1 | 7 | 7 |
| 15 | Parc 3H fase 3 | 83108,71 | 438488,97 | 19,5 | 19,4 | 0,1 | 7 | 7 |
| 14 | Parc 3H fase 3 | 83091,26 | 438529,87 | 19,5 | 19,4 | 0,1 | 7 | 7 |
| 01 | Parc 3H fase 1 no | 83124,92 | 438438,32 | 19,5 | 19,4 | 0,1 | 7 | 7 |
| p02 | 10 m van WdZ-laan | 83052,55 | 438314,36 | 19,4 | 19,4 | 0,1 | 7 | 7 |
| p03 | 10 m van WdZ-laan | 83082,48 | 438253,49 | 19,4 | 19,4 | 0,1 | 7 | 7 |
| 17 | Parc 3H | 83034,01 | 438445,35 | 19,4 | 19,4 | 0,0 | 7 | 7 |
| p04 | 10 m van WdZ-laan | 83110,67 | 438185,54 | 19,4 | 19,4 | 0,0 | 7 | 7 |
| p01 | 10 m van WdZ-laan | 83004,31 | 438440,80 | 19,4 | 19,4 | 0,0 | 7 | 7 |
| 16 | Parc 3H | 83057,46 | 438474,80 | 19,4 | 19,4 | 0,0 | 7 | 7 |
| w03 | woningen WdZ-laan | 83047,40 | 438313,03 | 19,4 | 19,4 | 0,0 | 7 | 7 |
| w04 | woningen WdZ-laan | 83076,00 | 438251,83 | 19,4 | 19,4 | 0,0 | 7 | 7 |
| w05 | woningen WdZ-laan | 83108,59 | 438185,57 | 19,4 | 19,4 | 0,0 | 7 | 7 |
| 11 | Parc 3H fase 2 | 83072,18 | 438367,37 | 19,4 | 19,4 | 0,0 | 7 | 7 |
| w01 | woningen Pr C-laan | 82990,83 | 438434,61 | 18,8 | 18,7 | 0,0 | 6 | 6 |
| w02 | woningen R-laan | 82998,28 | 438357,51 | 18,8 | 18,7 | 0,0 | 6 | 6 |